

РАСПИРЕНИЕ ПЛАЗМЕННОГО СГУСТКА ПЕРЕМЕННОЙ  
ПРОВОДИМОСТИ ВО ВНЕШНEM МАГНИТНОM ПОЛЕ  
ПРИ МАЛОM ПАРАМЕТРЕ ГИДРОМАГНИТНОM ВЗАИМОДЕЙСТВИЯ

A. H. Чепанов

(Новосибирск)

Рассматривается индукционное взаимодействие расширяющегося плазменного сгустка переменной проводимости, зависящей от температуры, с внешним однородным магнитным полем, заданным в виде произвольной функции времени.

В предположении малого параметра гидромагнитного взаимодействия (произведения магнитного числа Рейнольдса на отношение характерных величин магнитного давления к статическому давлению плазмы) решаются две задачи: расширение с постоянной скоростью и расширение в пустоту.

Произведен расчет величин работы  $A$  плазмы против электрических объемных сил и джоулевых потерь  $Q$  в плазме за единицу времени.

Проводится сравнительный анализ степени изовентропичности процесса расширения или внутреннего к. п. д.  $\eta = (A - Q) / A$  в зависимости от магнитного числа Рейнольдса, показателя адиабаты и формы сгустка: плоскосимметричной и осесимметричной.

Результат проведенного расчета может быть использован для некоторой оценки эффективности магнитогидродинамического способа преобразования тепловой энергии в электрическую.

Рассмотрим одномерные плоскосимметричные и осесимметричные расширения идеального невязкого проводящего газа во внешнее однородное магнитное поле. Примем следующие предположения: (1) В начальный момент времени  $t = 0$  в плоскосимметричном случае газ находился в некотором ограниченном вдоль оси  $r$  интервале  $-a_0 \leq r \leq a_0$  и не ограниченном в двух других перпендикулярных оси  $r$  направлениях.

В случае осевой симметрии при  $t = 0$  будем иметь бесконечный по оси  $z$  цилиндрический столб проводящего газа радиуса  $r = a_0$ .

(2) Магнитное поле  $H(t)$  вне плазмы известно и направлено параллельно оси  $z$  (перпендикулярно направлению движения газа).

(3) Токами смещения и теплопроводностью пренебрегаем.

(4) Полагая расширение равномерным, зададим скорость движения среды аналогично [1] в виде  $v = r a'(t) / a(t)$ , где  $a(t)$  — неизвестный закон движения границы газа.

(5) Величина  $SR_m \ll 1$  (параметр гидромагнитного взаимодействия), где  $S$  — отношение характерного магнитного давления к статическому давлению газа, а  $R_m$  — магнитное число Рейнольдса.

(6) Проводимость газа  $\sigma$  — функция температуры, определяется формулой

$$\sigma = \sigma_0 (T / T_0)^n \quad (n \geq 0) \quad (1)$$

Здесь  $\sigma_0$  — проводимость при  $T_0$ , выбранной в качестве масштаба температуры.

Расширение происходит вдоль оси  $r$ .

При сделанных выше предположениях (1) — (5) безразмерные нестационарные уравнения магнитной гидродинамики в лагранжевых ко-

ординатах  $\xi, \tau$  имеют вид

$$\begin{aligned} \frac{\partial H}{\partial \tau} + (\alpha + 1) \frac{a'(\tau)}{a(\tau)} H &= \frac{1}{R_m a^2(\tau)} \frac{1}{\xi^\alpha} \frac{\partial}{\partial \xi} \left( \frac{\xi^\alpha}{\sigma(\tau)} \frac{\partial H}{\partial \xi} \right), \quad \left( \xi = \frac{r}{a(\tau)}, \tau = t \right) \\ \kappa M_0^2 \xi a'(\tau) a(\tau) &= - \frac{1}{\rho} \frac{\partial P}{\partial \xi}, \quad \left( \kappa = \frac{c_p}{c_v}, M_0 = \frac{v_0}{\sqrt{\kappa P_0 / \rho_0}}, R_m = 4\pi G_0 a_0 v_0 \right) \\ \frac{\partial \rho}{\partial \tau} &= - \frac{\alpha + 1}{a(\tau)} a'(\tau) \rho, \quad \frac{\partial P}{\partial \tau} = \kappa \frac{P}{\rho} \frac{\partial \rho}{\partial \tau}, \quad P = \rho T \end{aligned} \quad (2)$$

Здесь  $\kappa$  — показатель адиабаты,  $M_0$  — число Маха. Штрих означает дифференцирование по переменной  $\tau$ .

В плоскосимметричном случае  $\alpha = 0$ , в цилиндрическом  $\alpha = 1$ . Для безразмерных величин приняты следующие обозначения

$$H = \frac{H^\circ}{H_{00}}, \quad P = \frac{P^\circ}{P_0}, \quad \rho = \frac{\rho^\circ}{\rho_0}, \quad v = \frac{v^\circ}{v_0}, \quad t = \frac{v_0 t^\circ}{a_0}, \quad \sigma = \frac{\sigma^\circ}{\sigma_0}$$

Здесь кружочком вверху обозначены размерные переменные, а индексом ноль внизу их характерные значения соответственно.

Во втором и четвертом уравнениях системы (2) опущены вторые члены справа, имеющие порядок  $SR_m$  (предположение (5)).

Два последних уравнения в (2) интегрируются непосредственно

$$\rho = f(\xi) a^{-(\alpha+1)}(\tau), \quad P = \varphi(\xi) \rho^\kappa \quad (3)$$

Здесь  $f(\xi)$  и  $\varphi(\xi)$  — функции лагранжевой координаты  $\xi$ , причем одна из них может быть задана произвольным образом.

Будем считать, что такой произвольной функцией будет  $\varphi(\xi)$ , характеризующая начальное распределение энтропии газа по частицам.

Подставив (3) во второе уравнение системы (2) и произведя разделение переменных, получим для определения функций  $f(\xi)$  и  $a(\tau)$  два уравнения

$$\frac{d}{d\xi} (\varphi f^\kappa) = \lambda \kappa M_0^2 \xi f, \quad a''(\tau) = - \lambda a^{-[\kappa+\alpha(\kappa-1)]}(\tau) \quad (4)$$

Проинтегрировав (4), найдем

$$f(\xi) = \frac{1}{\varphi^{1/\kappa}(\xi)} \left[ \lambda (\kappa - 1) M_0^2 \int \frac{\xi d\xi}{\varphi^{1/\kappa}(\xi)} + C \right]^{1/\kappa-1} \quad (5)$$

$$\int_1^\xi \left[ C_1 - \frac{2\lambda}{(1-\kappa)(1+\alpha)} z^{(1-\kappa)(1+\alpha)} \right]^{-1/2} dz = \tau \quad (6)$$

Формула (5) определяет распределение плотности газа по  $\xi$ , а (6) характеризует закон движения границы плазмы ( $\xi = \pm 1$ ). Аналогичное (6) решение получено в [2]. Ввиду пространственной симметрии задачи будем рассматривать в дальнейшем решение в области  $\xi \in [0, 1]$ .

Таким образом, для газодинамических величин имеем следующие выражения, зависящие от трех произвольных констант  $C, C_1, \lambda$  и одной произвольной функции  $\varphi(\xi)$

$$v = \xi \left\{ C_1 - \frac{2\lambda}{(1-\kappa)(1+\alpha)} [a(\tau)]^{(1-\kappa)(1+\alpha)} \right\}^{1/2} \quad (7)$$

$$\rho = \frac{[\varphi(\xi)]^{-1/\kappa}}{[a(\tau)]^{1+\alpha}} \left[ \lambda (\kappa - 1) M_0^2 \int \frac{\xi d\xi}{\varphi^{1/\kappa}(\xi)} + C \right]^{1/\kappa-1} \quad (8)$$

$$P = \frac{1}{[a(\tau)]^{(1+\alpha)}} \left[ \lambda (\kappa - 1) M_0^2 \int \frac{\xi d\xi}{\varphi^{1/\kappa}(\xi)} + C \right]^{\kappa/\kappa-1} \quad (9)$$

Здесь  $a(\tau)$  определяется соотношением (6).

Перейдем теперь к решению уравнения индукции (первое уравнение системы (2)). Для этого рассмотрим отдельно два случая.

а) *Расширение с постоянной скоростью границы* ( $\lambda = 0$ ). Зададим начальные и граничные условия в виде

$$v(\xi, 0) = \xi, \quad P(\xi, 0) = 1 \quad (10)$$

$$H(\xi, 0) = b = \begin{cases} 0, & \frac{\partial H}{\partial \xi} \Big|_{\xi=0} = 0, \\ 1, & H(1, \tau) = H_0(\tau) \end{cases} \quad (11)$$

В качестве характерных величин примем скорость движения границы относительно плоскости (оси) симметрии, давление, плотность при  $\xi = 0$  и магнитное поле вне плазмы в начальный момент времени  $\tau = 0$ .

Из (6) — (9) с учетом (10), (11) имеем

$$a(\tau) = 1 + \tau, \quad v = \xi, \quad \rho = (1 + \tau)^{-(1+\alpha)}, \quad P = (1 + \tau)^{-\alpha(1+\alpha)} \quad (12)$$

Из соотношений (1), (3) при  $\varphi(\xi) = 1$  и уравнения состояния  $P = \rho T$  для безразмерной величины проводимости нетрудно получить следующую зависимость от плотности

$$\sigma = \rho^{(\alpha-1)/n} \quad (13)$$

Подставив это выражение  $\sigma$  и выражение (12) для  $a(\tau)$  в уравнение индукции системы (2), получим

$$(1 + \tau)^{2 - (1+\alpha)(\alpha-1)/n} \frac{\partial H_1}{\partial \tau} = \frac{1}{R_m} \frac{1}{\xi^\alpha} \frac{\partial}{\partial \xi} \left( \xi^\alpha \frac{\partial H_1}{\partial \xi} \right) \quad (14)$$

$$H_1 = (1 + \tau)^{1+\alpha} H(\xi, \tau)$$

Из (11) имеем граничные условия

$$H_1(\xi, 0) = b, \quad [\partial H_1 / \partial \xi]_{\xi=0} = 0, \quad H_1(1, \tau) = (1 + \tau)^{1+\alpha} H_0(\tau) \quad (15)$$

Для решения задачи (14), (15) можно воспользоваться методом интегральных преобразований в конечном интервале по переменной  $\xi$  [3], опуская промежуточные выкладки; приводим полученное выражение

$$H(\xi, \tau) = H_0(\tau) - \frac{1}{(1 + \tau)^{\alpha+1}} \sum_{\gamma=1}^{\infty} C_\gamma \exp \left( -\frac{\lambda_\gamma^2}{R_m} \frac{(1 + \tau)^{(1+\alpha)(\alpha-1)/n-1} - 1}{(1 + \alpha)(\alpha-1)/n-1} \right) \times \\ \times \left\{ \int_0^\tau \frac{d}{d\tau} [(1 + \tau)^{1+\alpha} H_0] \exp \left( \frac{\lambda_\gamma^2}{R_m} \frac{(1 + \tau)^{(1+\alpha)(\alpha-1)/n-1} - 1}{(1 + \alpha)(\alpha-1)/n-1} \right) d\tau + 1 - b \right\} K(\lambda_\gamma \xi) \quad (16)$$

Предполагается, что  $(1 + \alpha)(\alpha-1)/n - 1 \neq 0$ ; вычисления дают

$$C_\gamma = (-1)^{\gamma-1} \frac{4}{(2\gamma-1)\pi}, \quad K(\lambda_\gamma \xi) = \cos \lambda_\gamma \xi, \quad \lambda_\gamma = \frac{(2\gamma-1)\pi}{2} \text{ при } \alpha=0 \quad (17)$$

$$C_\gamma = \frac{2}{\lambda_\gamma J_1(\lambda_\gamma)}, \quad K(\lambda_\gamma \xi) = J_0(\lambda_\gamma \xi) \quad \text{при } \alpha=1 \quad (18)$$

Здесь  $J_1$  и  $J_0$  — функции Бесселя действительного аргумента первого и нулевого порядков соответственно, собственные числа  $\lambda_\gamma$  определяются уравнением  $J_0(\lambda_\gamma) = 0$ .

При  $(1 + \alpha)(\kappa - 1)n - 1 = 0$  вместо (16) будем иметь

$$H(\xi, \tau) = H_0(\tau) - \frac{1}{(1 + \tau)^{1+\alpha}} \sum_{\gamma=1}^{\infty} \frac{C_{\gamma}}{(1 + \tau)^{\lambda_{\gamma}/R_m}} \times \\ \times \left\{ \int_0^{\tau} \frac{d}{d\tau} [(1 + \tau)^{1+\alpha} H_0] (1 + \tau)^{\lambda_{\gamma}/R_m} d\tau + 1 - b \right\} K(\lambda_{\gamma}\xi) \quad (19)$$

b) *Расширение в пустоту* ( $\lambda \neq 0$ ). Здесь рассмотрим подслучай, когда  $v(\xi, 0) = 0$  (нулевая начальная скорость) и  $v(\xi, 0) = \xi$  (начальная скорость не равна нулю). В качестве масштаба скорости в первом подслучае примем скорость звука при  $\tau = 0$ ,  $\xi = 0$ , во втором — начальную скорость газа при  $\tau = 0$ ,  $\xi = 1$ . Характерные значения давления и плотности те же, что и в случае (a).

Тогда из (7), (9) найдем при  $\varphi(\xi) = 1$

$$C = 1, \quad C_1 = v + \frac{4}{(\kappa - 1)^2 (1 + \alpha) M_0^2}, \quad \lambda = -\frac{2}{(\kappa - 1) M_0^2} \quad (20)$$

Последнее следует из условия  $P(1, \tau) = 0$ ;

$$v = 0 \quad \text{при } v(\xi, 0) = 0, \quad \lambda = 1 \quad \text{при } v(\xi, 0) = \xi$$

Кроме того, в случае  $v = 0$  следует положить  $M_0 = 1$ . Таким образом, с учетом (20) из (7) — (9) получим

$$v = \xi \left[ v + \frac{4}{(\kappa - 1)^2 (1 + \alpha) M_0^2} (1 - a^{(1-\kappa)(1+\alpha)}) \right]^{1/2} \quad (21)$$

$$\rho = (1 - \xi^2)^{1/\kappa-1} \frac{1}{a^{1+\alpha}(\tau)}, \quad P = (1 - \xi^2)^{\kappa/\kappa-1} \frac{1}{a^{\kappa}(1+\alpha)}$$

Здесь  $a = a(\tau)$  определяется соотношением (6), которое с учетом (20) примет вид

$$\int_1^a \left[ 1 + \frac{4}{(\kappa - 1)^2 (1 + \alpha) M_0^2} (1 - z^{(1-\kappa)(1+\alpha)}) \right]^{-1/2} dz = \tau \quad (22)$$

Подставим выражение проводимости

$$\sigma = (1 - \xi^2)^n a^{-(\kappa-1)(1+\alpha)n} \quad (23)$$

в уравнение индукции системы (2) и перейдем к новой зависимой переменной  $H_1 = a^{1+\alpha} H(\xi, \tau)$ ; получим

$$a^{2+(1-\kappa)(1+\alpha)n} \frac{\partial H_1}{\partial \tau} = \frac{1}{R_m} \frac{1}{\xi^{\alpha}} \frac{\partial}{\partial \xi} \left[ \frac{\xi^{\alpha}}{(1 - \xi^2)^n} \frac{\partial H_1}{\partial \xi} \right] \quad (24)$$

Границные и начальные условия, как и выше, запишем в виде

$$[\partial H_1 / \partial \xi]_{\xi=0} = 0, \quad H_1(1, \tau) = H_0(\tau) a^{1+\alpha}, \quad H(\xi, 0) = b = \begin{cases} 0 \\ 1 \end{cases} \quad (25)$$

Поскольку из (22) в общем случае нельзя получить явной зависимости  $a$  от  $\tau$ , то в (24) удобнее перейти к дифференцированию по переменной  $a$  вместо  $\tau$ . Оператор

$$\frac{\partial}{\partial \tau} = \left[ v + \frac{4}{(\kappa - 1)^2 (1 + \alpha) M_0^2} (1 - a^{(1-\kappa)(1+\alpha)}) \right]^{1/2} \frac{\partial}{\partial a} \quad (26)$$

Поэтому вычисления из (24) дают

$$\frac{1}{\xi^\alpha} \frac{\partial}{\partial \xi} \left[ \frac{\xi^\alpha}{(1-\xi^2)^n} \frac{\partial H_1}{\partial \xi} \right] - R_m \psi(a) \frac{\partial H_1}{\partial a} = 0 \quad (27)$$

$$\psi(a) = a^{2+(1-\alpha)(1+\alpha)n} \left[ 1 + \frac{4}{(\alpha-1)^2(1+\alpha)M_0^2} (1-a^{(1-\alpha)(1+\alpha)}) \right]^{1/2}$$

При этом условия (25) примут вид

$$[\partial H_1 / \partial \xi]_{\xi=0} = 0, \quad H_1(1, a) = a^{1-\alpha} H_0(a), \quad H_1(\xi, 1) = b \quad (28)$$

Для  $n = 0$  решение задачи (27), (28) легко записать в аналитическом виде аналогично случаю (а)

$$H(a, \xi) = H_0(a) - \frac{1}{a^{1+\alpha}} \times \quad (29)$$

$$\times \sum_{\gamma=1}^{\infty} C_\gamma \exp \left( -\frac{\lambda_\gamma^2}{R_m} \int_1^a \frac{da}{\psi(a)} \right) \left[ \int_1^a \frac{d}{da} (a^{1+\alpha} H_0) \exp \left( \frac{\lambda_\gamma^2}{R_m} \int_1^a \frac{da}{\psi(a)} \right) da + 1 - b \right] K(\lambda_\gamma \xi)$$

Здесь  $C_\gamma$ ,  $K(\lambda_\gamma \xi)$  и  $\lambda_\gamma$  имеют тот же смысл, что и выше в (а). При  $n \neq 0$  задача решалась численно методом сеток [4] на ЭВМ-20.

Произведем вычисление работы  $A$  плазмы против электрических объемных сил и джоулевых потерь  $Q$  в проводящем газе. Значения обоих величин отнесем к единице высоты, а при  $a = 0$  и ширине  $a_0$  плазменного столба (слоя); тогда для безразмерных величин  $A^\circ$  и  $Q^\circ$  будем иметь

$$A^\circ = \frac{A}{q} = a^\alpha(\tau) \left[ H_0^2(\tau) v(1, \tau) - \int_0^1 H^2 \frac{\partial}{\partial \xi} (\xi^\alpha v) d\xi \right] \quad (30)$$

$$Q^\circ = \frac{Q}{q} = \frac{2}{R_m} a^{\alpha-1} \int_0^1 \left( \frac{\partial H}{\partial \xi} \right)^2 \frac{\xi^\alpha}{\sigma} d\xi \quad \left( q = \frac{H_{00}^2}{4\pi^{1-\alpha}} a_0^\alpha v_0 \right) \quad (31)$$

Здесь  $A^\circ$  и  $Q^\circ$  — работа и джоулевы потери за единицу времени,  $q$  — единица масштаба.

Для случая расширения с постоянной скоростью границы ( $\lambda = 0$ ) из (30) и (31) после подстановки выражений (12), (13), (16), (19) для  $v$ ,  $\sigma$ ,  $H$  и почлененного интегрирования по  $\xi$  имеем

$$A^\circ = (\alpha+1) a^\alpha v(1, \tau) \sum_{\gamma=1}^{\infty} \left[ 2H_0 f_\gamma(\tau) \int_0^1 K(\lambda_\gamma \xi) \xi^\alpha d\xi - f_\gamma^2(\tau) \int_0^1 K^2(\lambda_\gamma \xi) \xi^\alpha d\xi \right] \quad (32)$$

$$Q^\circ = \frac{2}{R_m} \frac{\alpha^{\alpha-1}}{\sigma(\tau)} \sum_{\gamma=1}^{\infty} f_\gamma^2(\tau) \int_0^1 \left( \frac{d}{d\xi} K(\lambda_\gamma \xi) \right)^2 \xi^\alpha d\xi \quad (33)$$

$$f_\gamma(\tau) = \frac{C_\gamma}{(1+\tau)^{1+\alpha}} \exp \left( -\frac{\lambda_\gamma^2}{R_m} \frac{(1+\tau)^{(1+\alpha)(\alpha-1)n-1}-1}{(1+\alpha)(\alpha-1)n-1} \right) \times$$

$$\times \left\{ \int_0^{\tau} \frac{d}{d\tau} [(1+\tau) H_0] \exp \left[ \frac{\lambda_\gamma^2}{R_m} \frac{(1+\tau)^{(1+\alpha)(\alpha-1)n-1}-1}{(1+\alpha)(\alpha-1)n-1} + 1 - b \right] \right\}$$

При  $(1 + a)(\kappa - 1)n - 1 \neq 0$ , если  $(1 + a)(\kappa - 1)n - 1 = 0$

$$f_\gamma(\tau) = \frac{C_\gamma}{(1 + \tau)^{\lambda_\gamma/R_m + 1 + \alpha}} \left[ \int_0^\tau \frac{d}{d\tau} [(1 + \tau)^{1+\alpha} H_0] (1 + \tau)^{\lambda_\gamma/R_m} d\tau + 1 - b \right]$$

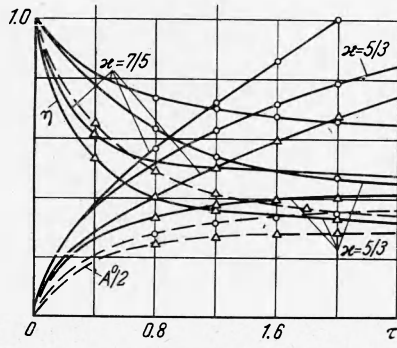
Интегралы по  $\xi$  легко вычисляются. В случае  $\alpha = 0$  с учетом (17) имеем

$$\begin{aligned} \int_0^1 K(\lambda_\gamma \xi) d\xi &= (-1)^{\gamma-1} \frac{2}{(2\gamma-1)\pi}, \quad \int_0^1 K^2(\lambda_\gamma \xi) d\xi = \frac{1}{2}, \\ \int_0^1 \left[ \frac{d}{d\xi} K(\lambda_\gamma \xi) \right]^2 d\xi &= \frac{(2\gamma-1)^2 \pi^2}{8} \end{aligned}$$

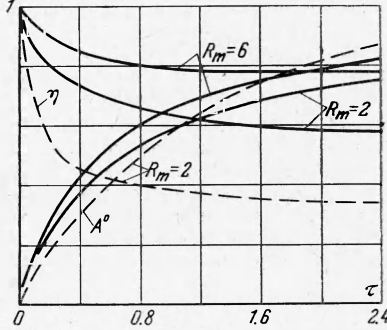
В случае  $\alpha = 1$  величины  $K(\lambda_\gamma \xi)$  и  $C_\gamma$  определяются соотношениями (18); при этом

$$\begin{aligned} \int_0^1 K(\lambda_\gamma \xi) \xi d\xi &= \frac{J_1(\lambda_\gamma)}{\lambda_\gamma}, \quad \int_0^1 K^2(\lambda_\gamma \xi) \xi d\xi = \frac{1}{2} J_1^2(\lambda_\gamma) \\ \int_0^1 \left[ \frac{d}{d\xi} K(\lambda_\gamma \xi) \right]^2 \xi d\xi &= \frac{\lambda_\gamma^2}{2} \left[ \frac{2}{\lambda_\gamma} J_1(\lambda_\gamma) - J_0(\lambda_\gamma) \right]^2 \end{aligned}$$

Вместо  $a(\tau)$ ,  $v(1, \tau)$  и  $\sigma(\tau)$  следует подставить их выражения согласно (12) и (13).



Фиг. 1



Фиг. 2

В случае  $\lambda \neq 0$  при  $n = 0$  значения  $A$  и  $Q$  определяются также формулами (32), (33) соответственно, только здесь

$$f_\gamma(\tau) = \frac{C_\gamma}{a^{1+\alpha}} \exp \left[ -\frac{\lambda_\gamma^2}{R_m} \int_1^\infty \frac{da}{\Psi(a)} \right] \left\{ \int_1^a \frac{d}{da} (a^{1+\alpha} H_0) \exp \left[ \frac{\lambda_\gamma^2}{R_m} \int_1^a \frac{da}{\Psi(a)} \right] da + 1 - b \right\}$$

При этом  $v(1, \tau)$ ,  $a(\tau)$  и  $\sigma(\tau)$  определяются из (21), (22) и (23) — в последнем  $\rho$  с учетом (21).

Были проведены численные расчеты величины работы  $A$  плазмы против электрических объемных сил, джоулевых потерь  $Q$  в плазме за единицу времени и внутреннего коэффициента полезного действия (к. п. д.)  $\eta = (A - Q) / A$  или степени изоэнтропичности процесса расширения плазмы в магнитном поле для случая, когда

магнитное поле на границе расширяющегося слоя (столба) газа постоянно ( $H_0(\tau) = 1$ ). Начальное распределение последнего считалось постоянным и равным внешнему ( $b = 1$ ).

На фиг. 1 в качестве примера приведены некоторые значения величин  $A^0$  и  $\eta$  в зависимости от  $\tau$  для случая  $\lambda = 0$  при  $\alpha = 1$ ,  $\kappa = 5/3$ ,  $R_m = 2$  и 6 (сплошные линии) и при  $\alpha = 0$ ,  $\kappa = 5/3$ ,  $R_m = 2$  и 6 (пунктирные линии); на фигуре точки в виде треугольников соответствуют значению  $R_m = 2$ , в виде кружков  $R_m = 6$ .

При этом график коэффициента  $\eta$  для  $\alpha = 0$ ,  $R_m = 6$ ,  $\kappa = 5/3$  практически совпадает с графиком этой же величины, построенным при  $\alpha = 1$ ,  $R_m = 6$ ,  $\kappa = 7/5$ , вследствие чего на фигуре первый не приведен.

Фиг. 2 иллюстрирует зависимость  $A^0$  и  $\eta$  от  $\tau$  для случая  $\lambda \neq 0$  (расширение в пустоту) при  $\alpha = 0$ ,  $\kappa = 5/3$ ,  $R_m = 2$  и 6. Сплошные линии соответствуют  $n = 0$  (постоянная по сечению проводимость  $\sigma = \sigma(\tau)$ ), пунктирные —  $n = 3/2$  (переменная по сечению проводимость  $\sigma = \sigma(\xi, \tau)$ ).

Из приведенного расчета следует.

1. В случае плоскосимметричного расширения ( $\alpha = 0$ ) значения коэффициента  $\eta$  выше, чем в осесимметричном случае ( $\alpha = 1$ ).

2. Величина  $\eta$  существенно зависит от показателя адиабаты газа (т. е. от рабочего тела). Как видно из фиг. 1, двухатомному газу ( $\kappa = 7/5$ ) соответствуют более высокие значения коэффициента  $\eta$  по сравнению с одноатомным ( $\kappa = 5/3$ ).

3. С увеличением  $R_m$  степень изоэнтропичности  $\eta$  процесса расширения увеличивается, стремясь к единице при  $R_m \rightarrow \infty$ .

4. При заданном начальном распределении магнитного поля  $b = 1$  величина  $\eta > 0$  при  $\tau > 0$ ,  $R_m > 0$  и  $\eta = 1$  при  $\tau = 0$ .

Если принять, что в начальный момент магнитное поле в плазме не равнялось по всему сечению внешнему (т. е.  $b \neq 1$ ), то при конечных  $R_m$  существует некоторый промежуток времени  $0 \leq \tau \leq \tau_i$ , определяемый значениями безразмерных параметров, когда  $\eta \leq 0$ , и только при  $\tau > \tau_i$  будем иметь  $\eta > 0$ , что отмечалось ранее в [5, 6].

На фиг. 3 приведено распределение магнитного поля по сечению проводящего слоя плазмы для случая  $\lambda \neq 0$  (расширение в пустоту), при  $\alpha = 0$ ,  $\kappa = 5/3$ ,  $\eta = 7/2$  и  $v = 0$ . Треугольники соответствуют  $R_m = 2$ , кружочки  $R_m = 0.5$ .

Отметим, что в случае конечной проводимости газа часть мощности  $A$ , развиваемой плазмой против электродвижущих сил, диссириуется в виде джоулема тепла в рабочем газе. Другая же ее часть идет на изменение энергии магнитного поля в объеме, занимаемом движущейся плазмой, и на работу против внешних источников, необходимых для поддержания магнитного поля перед расширяющимся плазменным слоем (столбом) постоянным.

Автор благодарит Л. А. Заклязьминского за полезные советы и внимание к работе.

Поступила 12 VII 1966

#### ЛИТЕРАТУРА

- Брагинский С. И., Шафранов В. Д. Плазменный шнур при наличии продольного магнитного поля. Физика плазмы и проблема управляемых термоядерных реакций, 1958, т. 2.
- Фонарев А. С. Об асимптотических решениях неустановившегося расширения газа в пустоту. Инж. ж., 1965, т. 5, № 6.
- Кошляков Н. С., Глиннер Э. Б., Смирнов М. М. Основные дифференциальные уравнения математической физики. Физматгиз, 1962.
- Рихтмайер Р. Д. Разностные методы решения краевых задач. Изд. иностран. лит., 1960.
- Яковлев В. И. Индукционное воздействие расширяющегося плазменного шнура с внешним электрическим контуром. ПМТФ, 1963, № 2.
- Черепанов А. Н., Яковлев В. И. Автомодельное решение задачи о расширении цилиндрического столба проводящего газа в продольном магнитном поле, ПМТФ, 1966, № 2.